

Supplementary material

Genomic surveillance of SARS-CoV-2 in the state of Paraná, Southern Brazil, reveals the cocirculation of the VOC P.1, P.1-like-II lineage and a P.1 cluster harboring the S:E661D mutation.

¹Mauro de Medeiros Oliveira*, ¹Michelle Orane Schemberger*, ²Andreia Akemi Suzukawa*, ³Irina Nastassja Riediger, ³Maria do Carmo Debur, ³Guilherme Becker, ⁴Paola Cristina Resende, ⁵Tiago Gräf, ⁶Eduardo Balsanelli, ⁶Valter Antônio de Baura, ⁶Emanuel Maltempi de Souza, ⁶Fábio de Oliveira Pedrosa, ⁷Lysangela Ronalte Alves, ¹Lucas Blanes, ⁸Sheila Cristina Nardeli, ²Alessandra De Melo Aguiar, ⁸Letusa Albrecht, ¹Dalila Zanette, ⁸Andréa Rodrigues Ávila, ¹Luis Gustavo Morello, ¹Fabricio Kleryton Marchini, ⁹Hellen Geremias dos Santos, ⁷Fabio Passetti, ²Bruno Dallagiovanna, ¹Helisson Faoro⁺.

on behalf of Fiocruz COVID-19 Genomic Surveillance Network

*These authors contributed equally

¹Laboratório de Ciências e Tecnologias Aplicadas em Saúde, Instituto Carlos Chagas, FIOCRUZ, Curitiba, Paraná, Brazil.

²Laboratório de Biologia Básica de Células Tronco, Instituto Carlos Chagas, FIOCRUZ, Curitiba, Paraná, Brazil.

³Laboratório Central do Estado do Paraná, LACEN, Curitiba, Paraná, Brazil.

⁴Laboratórios de Vírus Respiratórios e do Sarampo (LVRS), Instituto Oswaldo Cruz, FIOCRUZ, Rio de Janeiro, Rio de Janeiro, Brazil.

⁵Instituto Gonçalo Moniz, FIOCRUZ, Salvador, Bahia, Brazil.

⁶Departamento de Bioquímica e Biologia Molecular, Universidade Federal do Paraná, Curitiba, Paraná, Brazil.

⁷Laboratório de Regulação da Expressão Gênica, Instituto Carlos Chagas, FIOCRUZ, Curitiba, Paraná, Brazil.

⁸Laboratório de Pesquisa em Apicomplexa, Carlos Chagas Institute, FIOCRUZ, Curitiba, Paraná, Brazil.

⁹Instituto Carlos Chagas, FIOCRUZ, Curitiba, Paraná, Brazil.

+ To whom correspondence should be addressed.

Helisson Faoro: helisson.faoro@fiocruz.br; hfaoro@gmail.com

Prof. Algacyr Munhoz Mader street, 3775, CIC, 81350-010 Curitiba/PR, Brasil.

Tel.: +55(41)3316-3230; Fax: +55(41)3316-3267

Figure S1: SARS-CoV-2 variants identified in Paraná state in April 2021.

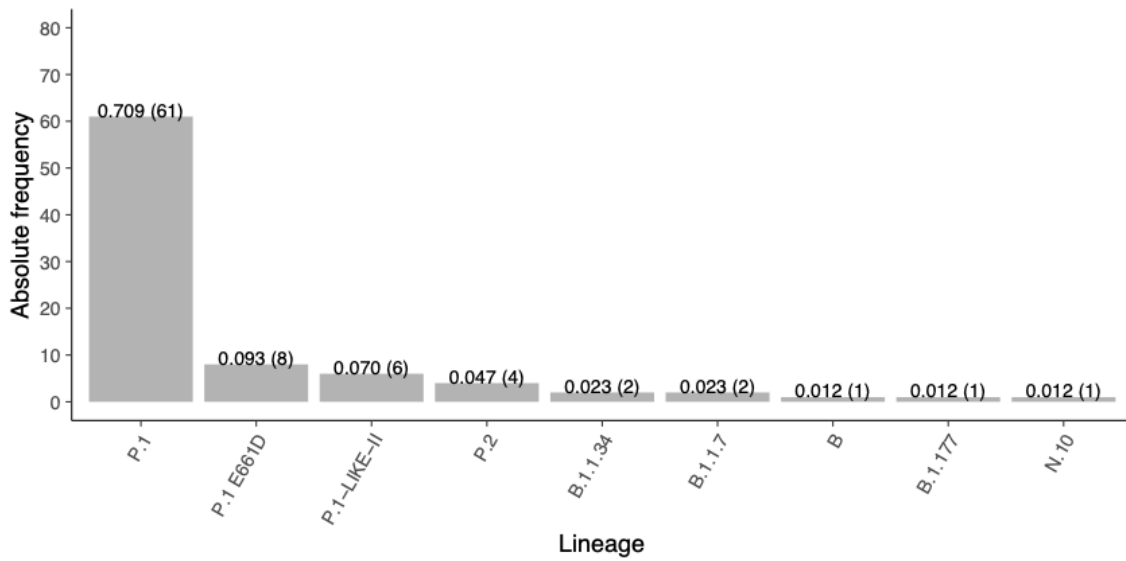


Figure S2: Distribution of SARS-CoV-2 variants identified in April 2021, according to macroregions of Paraná state.

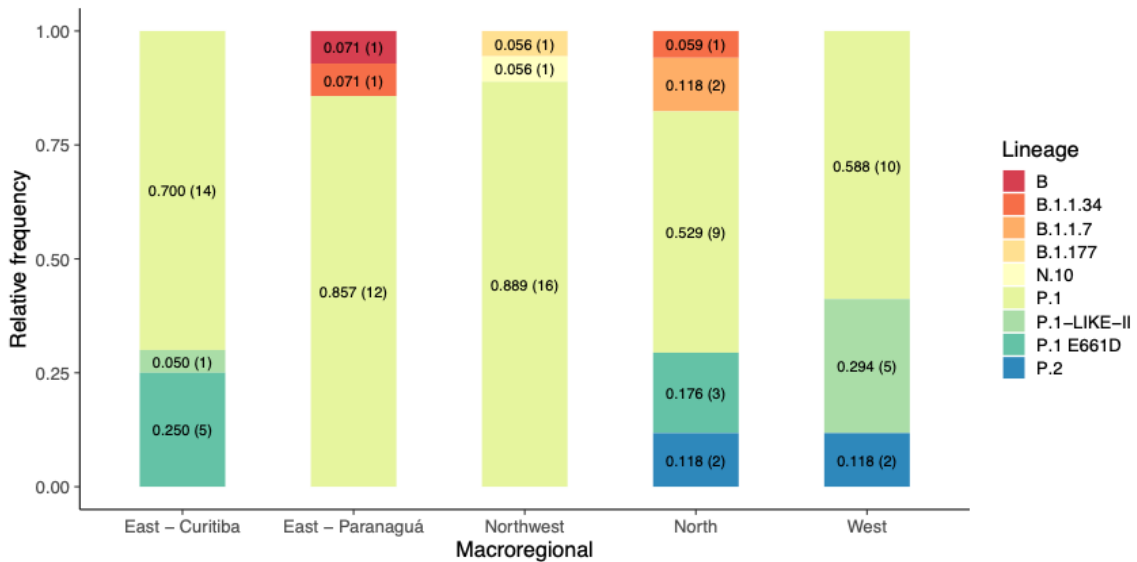


Figure S3: SARS-CoV-2 variants identified in Paraná state in April 2021 by age group.

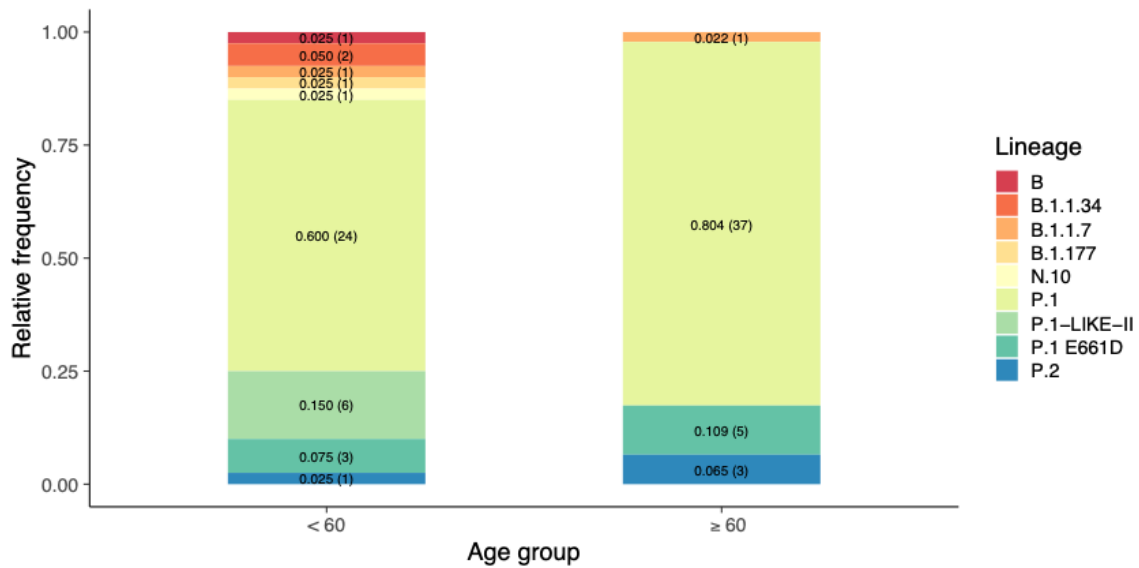
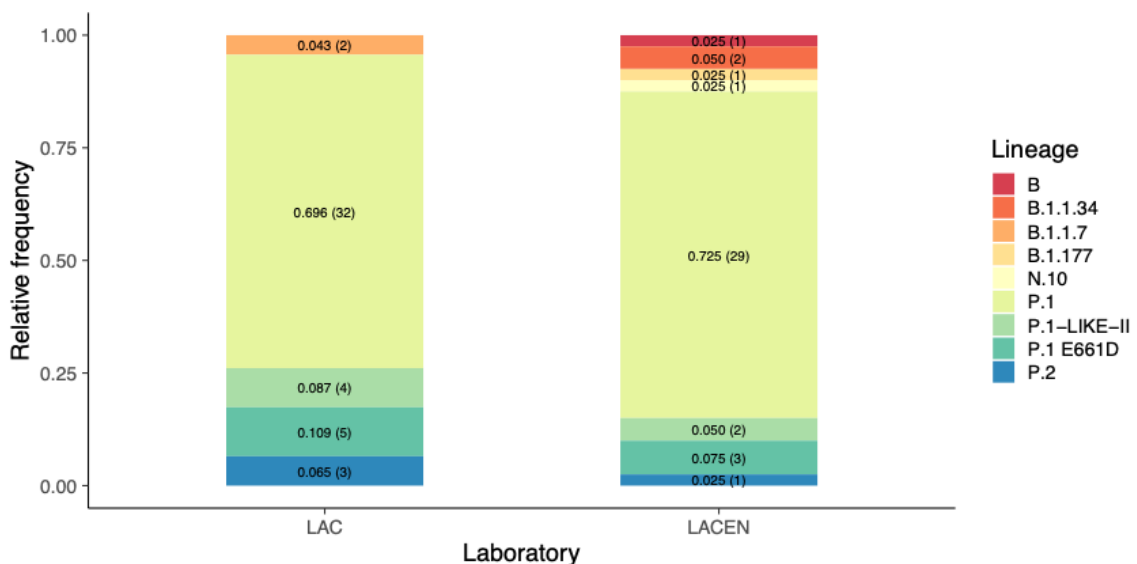


Figure S4: SARS-CoV-2 variants identified at Paraná state in April 2021 by clinical severity at the moment of sample collection (LAC: mild cases; LACEN: severe cases).



List S1: Number and source of SARS-CoV-2 genomes used in this study.

EPI_ISL_2775468, EPI_ISL_2775467, EPI_ISL_2775469, EPI_ISL_2775464,
EPI_ISL_2775463, EPI_ISL_2775466, EPI_ISL_2775465, EPI_ISL_2775460,
EPI_ISL_2775462, EPI_ISL_2775461, EPI_ISL_2775479, EPI_ISL_2775478,
EPI_ISL_2775475, EPI_ISL_2775474, EPI_ISL_2775477, EPI_ISL_2775476,
EPI_ISL_2775471, EPI_ISL_2775470, EPI_ISL_2775473, EPI_ISL_2775472,
EPI_ISL_2775402, EPI_ISL_2775401, EPI_ISL_2775489, EPI_ISL_2775404,
EPI_ISL_2775403, EPI_ISL_2775486, EPI_ISL_2775485, EPI_ISL_2775400,
EPI_ISL_2775488, EPI_ISL_2775487, EPI_ISL_2775409, EPI_ISL_2775406,
EPI_ISL_2775405, EPI_ISL_2775408, EPI_ISL_2775407, EPI_ISL_2775482,
EPI_ISL_2775481, EPI_ISL_2775484, EPI_ISL_2775483, EPI_ISL_2775480,
EPI_ISL_2775413, EPI_ISL_2775412, EPI_ISL_2775415, EPI_ISL_2775414,
EPI_ISL_2775497, EPI_ISL_2775496, EPI_ISL_2775411, EPI_ISL_2775499,
EPI_ISL_2775410, EPI_ISL_2775498, EPI_ISL_2775417, EPI_ISL_2775416,
EPI_ISL_2775419, EPI_ISL_2775418, EPI_ISL_2775493, EPI_ISL_2775492,
EPI_ISL_2775495, EPI_ISL_2775494, EPI_ISL_2775491, EPI_ISL_2775490,
EPI_ISL_2775424, EPI_ISL_2775423, EPI_ISL_2775426, EPI_ISL_2775425,
EPI_ISL_2775420, EPI_ISL_2775422, EPI_ISL_2775421, EPI_ISL_2775428,
EPI_ISL_2775427, EPI_ISL_2775429, EPI_ISL_2775435, EPI_ISL_2775434,
EPI_ISL_2775437, EPI_ISL_2775436, EPI_ISL_2775431, EPI_ISL_2775398,
EPI_ISL_2775430, EPI_ISL_2775397, EPI_ISL_2775433, EPI_ISL_2775432,
EPI_ISL_2775399, EPI_ISL_2775439, EPI_ISL_2775438, EPI_ISL_2775394,
EPI_ISL_2775393, EPI_ISL_2775396, EPI_ISL_2775395, EPI_ISL_2775390,
EPI_ISL_2775392, EPI_ISL_2775391, EPI_ISL_2775446, EPI_ISL_2775445,
EPI_ISL_2775448, EPI_ISL_2775447, EPI_ISL_2775442, EPI_ISL_2775441,
EPI_ISL_2775444, EPI_ISL_2775443, EPI_ISL_2775449, EPI_ISL_2775440,
EPI_ISL_2775457, EPI_ISL_2775456, EPI_ISL_2775459, EPI_ISL_2775458,
EPI_ISL_2775453, EPI_ISL_2775452, EPI_ISL_2775455, EPI_ISL_2775454,
EPI_ISL_2775451, EPI_ISL_2775450, EPI_ISL_2758965, EPI_ISL_2758966,
EPI_ISL_2758963, EPI_ISL_2759018, EPI_ISL_2758964, EPI_ISL_2759019,
EPI_ISL_2758969, EPI_ISL_2758967, EPI_ISL_2758968, EPI_ISL_2759012,
EPI_ISL_2759013, EPI_ISL_2759010, EPI_ISL_2759011, EPI_ISL_2758961,
EPI_ISL_2759016, EPI_ISL_2758962, EPI_ISL_2759017, EPI_ISL_2759014,
EPI_ISL_2758960, EPI_ISL_2759015, EPI_ISL_2758954, EPI_ISL_2759009,

EPI_ISL_2758955, EPI_ISL_2758952, EPI_ISL_2759007, EPI_ISL_2758953,
EPI_ISL_2759008, EPI_ISL_2758958, EPI_ISL_2758959, EPI_ISL_2758956,
EPI_ISL_2758957, EPI_ISL_2759001, EPI_ISL_2759002, EPI_ISL_2759000,
EPI_ISL_2758950, EPI_ISL_2759005, EPI_ISL_2758951, EPI_ISL_2759006,
EPI_ISL_2759003, EPI_ISL_2759004, EPI_ISL_2758949, EPI_ISL_2758943,
EPI_ISL_2758944, EPI_ISL_2758941, EPI_ISL_2758942, EPI_ISL_2758947,
EPI_ISL_2758948, EPI_ISL_2758945, EPI_ISL_2758946, EPI_ISL_2758940,
EPI_ISL_2759070, EPI_ISL_2759071, EPI_ISL_2758938, EPI_ISL_2758939,
EPI_ISL_2759067, EPI_ISL_2759068, EPI_ISL_2759065, EPI_ISL_2759066,
EPI_ISL_2759069, EPI_ISL_2759060, EPI_ISL_2759063, EPI_ISL_2759064,
EPI_ISL_2759061, EPI_ISL_2759062, EPI_ISL_2759056, EPI_ISL_2759057,
EPI_ISL_2759054, EPI_ISL_2759055, EPI_ISL_2759058, EPI_ISL_2759059,
EPI_ISL_2759052, EPI_ISL_2759053, EPI_ISL_2759050, EPI_ISL_2759051,
EPI_ISL_2758998, EPI_ISL_2758999, EPI_ISL_2758996, EPI_ISL_2758997,
EPI_ISL_2758990, EPI_ISL_2759045, EPI_ISL_2758991, EPI_ISL_2759046,
EPI_ISL_2759043, EPI_ISL_2759044, EPI_ISL_2758994, EPI_ISL_2759049,
EPI_ISL_2758995, EPI_ISL_2758992, EPI_ISL_2759047, EPI_ISL_2758993,
EPI_ISL_2759048, EPI_ISL_2759041, EPI_ISL_2759042, EPI_ISL_2759040,
EPI_ISL_2758987, EPI_ISL_2758988, EPI_ISL_2758985, EPI_ISL_2758986,
EPI_ISL_2758989, EPI_ISL_2759034, EPI_ISL_2758980, EPI_ISL_2759035,
EPI_ISL_2759032, EPI_ISL_2759033, EPI_ISL_2758983, EPI_ISL_2759038,
EPI_ISL_2758984, EPI_ISL_2759039, EPI_ISL_2758981, EPI_ISL_2759036,
EPI_ISL_2758982, EPI_ISL_2759037, EPI_ISL_2759030, EPI_ISL_2759031,
EPI_ISL_2758976, EPI_ISL_2758977, EPI_ISL_2758974, EPI_ISL_2759029,
EPI_ISL_2758975, EPI_ISL_2758978, EPI_ISL_2758979, EPI_ISL_2759023,
EPI_ISL_2759024, EPI_ISL_2759021, EPI_ISL_2759022, EPI_ISL_2758972,
EPI_ISL_2759027, EPI_ISL_2758973, EPI_ISL_2759028, EPI_ISL_2758970,
EPI_ISL_2759025, EPI_ISL_2758971, EPI_ISL_2759026, EPI_ISL_2759020.

Table S1: Nonsynonymous mutations described for VOIs N.10-PR, N.10-MA and B.1.429.

Protein	VOI		
	N.10-PR	N.10-MA	B.1.429 (CAL.20C)
S	S:P9L	S:P9L	-
	-	-	S:S13I
	S:W152C	-	S:W152C
	S:I210V	S:I210V	-
	S:N211I	S:N211I	-
	S:V445A	S:V445A	-
	-	-	S:L452R
	S:E484K	S:E484K	-
	S:D614G	S:D614G	S:D614G
ORF1a	ORF1a:H712Y	-	-
	ORF1a:P1640L	ORF1a:P1640L	-
	ORF1a:P3371S	ORF1a:P3371S	-
	ORF1a:P3395S	ORF1a:P3395S	-
	ORF1a:V3718A	ORF1a:V3718A	-
-	-	-	ORF1a:I4205V
N	N:Q70R	N:Q70R	-
	N:R203K	N:R203K	-
	N:G204R	N:G204R	-
	N:I292T	N:I292T	-
ORF1b	ORF1b:P314L	ORF1b:P314L	-
ORF6	ORF6:I33T	ORF6:I33T	-
ORF7b	ORF7b:F13X	ORF7b:F13X	-
ORF9b	ORF9b:K67E	ORF9b:K67E	-

